

Starkniederschlagshöhen und -spenden gemäß KOSTRA-DWD-2020

Rasterfeld 137127

(Zeile 137, Spalte 127)

Regenspende und Bemessungsniederschlagswerte in Abhängigkeit von Wiederkehrzeit T und Dauerstufe D

| Dauerstufe D | | Wiederkehrzeit T | | | | | | | | | | | | | | | | | |
|--------------|-----|------------------|------------|------|------------|------|------------|------|------------|------|------------|-------|------------|-------|------------|-------|------------|-------|------------|
| | | 1 a | | 2 a | | 3 a | | 5 a | | 10 a | | 20 a | | 30 a | | 50 a | | 100 a | |
| min | Std | mm | l / (s ha) | mm | l / (s ha) | mm | l / (s ha) | mm | l / (s ha) | mm | l / (s ha) | mm | l / (s ha) | mm | l / (s ha) | mm | l / (s ha) | mm | l / (s ha) |
| 5 | | 6,8 | 226,7 | 8,3 | 276,7 | 9,3 | 310,0 | 10,5 | 350,0 | 12,3 | 410,0 | 14,1 | 470,0 | 15,3 | 510,0 | 16,9 | 563,3 | 19,1 | 636,7 |
| 10 | | 8,9 | 148,3 | 10,8 | 180,0 | 12,0 | 200,0 | 13,7 | 228,3 | 16,0 | 266,7 | 18,4 | 306,7 | 19,9 | 331,7 | 22,0 | 366,7 | 24,9 | 415,0 |
| 15 | | 10,1 | 112,2 | 12,4 | 137,8 | 13,8 | 153,3 | 15,6 | 173,3 | 18,2 | 202,2 | 21,0 | 233,3 | 22,8 | 253,3 | 25,1 | 278,9 | 28,4 | 315,6 |
| 20 | | 11,0 | 91,7 | 13,5 | 112,5 | 15,0 | 125,0 | 17,0 | 141,7 | 19,9 | 165,8 | 22,9 | 190,8 | 24,8 | 206,7 | 27,4 | 228,3 | 31,1 | 259,2 |
| 30 | | 12,4 | 68,9 | 15,2 | 84,4 | 16,9 | 93,9 | 19,2 | 106,7 | 22,4 | 124,4 | 25,7 | 142,8 | 27,9 | 155,0 | 30,8 | 171,1 | 34,9 | 193,9 |
| 45 | | 13,9 | 51,5 | 17,0 | 63,0 | 18,9 | 70,0 | 21,4 | 79,3 | 25,0 | 92,6 | 28,8 | 106,7 | 31,2 | 115,6 | 34,4 | 127,4 | 39,0 | 144,4 |
| 60 | 1 | 15,0 | 41,7 | 18,3 | 50,8 | 20,4 | 56,7 | 23,1 | 64,2 | 27,0 | 75,0 | 31,1 | 86,4 | 33,7 | 93,6 | 37,2 | 103,3 | 42,2 | 117,2 |
| 90 | 1,5 | 16,7 | 30,9 | 20,4 | 37,8 | 22,7 | 42,0 | 25,7 | 47,6 | 30,0 | 55,6 | 34,5 | 63,9 | 37,5 | 69,4 | 41,3 | 76,5 | 46,9 | 86,9 |
| 120 | 2 | 17,9 | 24,9 | 21,9 | 30,4 | 24,4 | 33,9 | 27,7 | 38,5 | 32,3 | 44,9 | 37,2 | 51,7 | 40,3 | 56,0 | 44,5 | 61,8 | 50,4 | 70,0 |
| 180 | 3 | 19,9 | 18,4 | 24,3 | 22,5 | 27,0 | 25,0 | 30,6 | 28,3 | 35,8 | 33,1 | 41,2 | 38,1 | 44,7 | 41,4 | 49,3 | 45,6 | 55,9 | 51,8 |
| 240 | 4 | 21,3 | 14,8 | 26,1 | 18,1 | 29,1 | 20,2 | 32,9 | 22,8 | 38,5 | 26,7 | 44,3 | 30,8 | 48,0 | 33,3 | 53,0 | 36,8 | 60,1 | 41,7 |
| 360 | 6 | 23,6 | 10,9 | 28,9 | 13,4 | 32,1 | 14,9 | 36,4 | 16,9 | 42,6 | 19,7 | 49,0 | 22,7 | 53,1 | 24,6 | 58,6 | 27,1 | 66,4 | 30,7 |
| 540 | 9 | 26,1 | 8,1 | 31,9 | 9,8 | 35,5 | 11,0 | 40,3 | 12,4 | 47,1 | 14,5 | 54,1 | 16,7 | 58,8 | 18,1 | 64,8 | 20,0 | 73,5 | 22,7 |
| 720 | 12 | 28,0 | 6,5 | 34,3 | 7,9 | 38,2 | 8,8 | 43,2 | 10,0 | 50,6 | 11,7 | 58,1 | 13,4 | 63,1 | 14,6 | 69,6 | 16,1 | 78,9 | 18,3 |
| 1080 | 18 | 31,0 | 4,8 | 37,9 | 5,8 | 42,2 | 6,5 | 47,8 | 7,4 | 55,9 | 8,6 | 64,2 | 9,9 | 69,7 | 10,8 | 76,9 | 11,9 | 87,1 | 13,4 |
| 1440 | 24 | 33,3 | 3,9 | 40,7 | 4,7 | 45,3 | 5,2 | 51,3 | 5,9 | 60,0 | 6,9 | 69,0 | 8,0 | 74,8 | 8,7 | 82,5 | 9,5 | 93,5 | 10,8 |
| 2880 | 48 | 39,4 | 2,3 | 48,2 | 2,8 | 53,7 | 3,1 | 60,8 | 3,5 | 71,1 | 4,1 | 81,8 | 4,7 | 88,7 | 5,1 | 97,8 | 5,7 | 110,9 | 6,4 |
| 4320 | 72 | 43,6 | 1,7 | 53,3 | 2,1 | 59,3 | 2,3 | 67,2 | 2,6 | 78,6 | 3,0 | 90,3 | 3,5 | 98,0 | 3,8 | 108,1 | 4,2 | 122,5 | 4,7 |
| 5760 | 96 | 46,7 | 1,4 | 57,2 | 1,7 | 63,6 | 1,8 | 72,1 | 2,1 | 84,3 | 2,4 | 96,9 | 2,8 | 105,2 | 3,0 | 116,0 | 3,4 | 131,5 | 3,8 |
| 7200 | 120 | 49,4 | 1,1 | 60,4 | 1,4 | 67,2 | 1,6 | 76,2 | 1,8 | 89,1 | 2,1 | 102,4 | 2,4 | 111,1 | 2,6 | 122,5 | 2,8 | 138,9 | 3,2 |
| 8640 | 144 | 51,6 | 1,0 | 63,1 | 1,2 | 70,3 | 1,4 | 79,6 | 1,5 | 93,1 | 1,8 | 107,0 | 2,1 | 116,2 | 2,2 | 128,1 | 2,5 | 145,2 | 2,8 |
| 10080 | 168 | 53,6 | 0,9 | 65,6 | 1,1 | 73,0 | 1,2 | 82,7 | 1,4 | 96,7 | 1,6 | 111,2 | 1,8 | 120,6 | 2,0 | 133,0 | 2,2 | 150,8 | 2,5 |

Starkniederschlagshöhen und -spenden gemäß KOSTRA-DWD-2020

Rasterfeld 137127

(Zeile 137, Spalte 127)

Örtliche Unsicherheiten in Abhängigkeit von Wiederkehrzeit T und Dauerstufe D

| Dauerstufe D | | Wiederkehrzeit T | | | | | | | | |
|--------------|-----|------------------|-----|-----|-----|------|------|------|------|-------|
| | | 1 a | 2 a | 3 a | 5 a | 10 a | 20 a | 30 a | 50 a | 100 a |
| min | Std | ± % | ± % | ± % | ± % | ± % | ± % | ± % | ± % | ± % |
| 5 | | 12 | 12 | 13 | 14 | 15 | 15 | 15 | 16 | 16 |
| 10 | | 14 | 16 | 17 | 18 | 19 | 20 | 20 | 21 | 21 |
| 15 | | 16 | 18 | 19 | 20 | 21 | 22 | 22 | 23 | 23 |
| 20 | | 17 | 19 | 20 | 21 | 22 | 23 | 23 | 24 | 25 |
| 30 | | 18 | 20 | 21 | 22 | 23 | 24 | 25 | 25 | 26 |
| 45 | | 18 | 20 | 21 | 22 | 23 | 24 | 25 | 25 | 26 |
| 60 | 1 | 18 | 20 | 21 | 22 | 23 | 24 | 25 | 25 | 26 |
| 90 | 1,5 | 17 | 19 | 20 | 21 | 23 | 23 | 24 | 24 | 25 |
| 120 | 2 | 17 | 19 | 20 | 21 | 22 | 23 | 23 | 24 | 24 |
| 180 | 3 | 16 | 18 | 19 | 20 | 21 | 22 | 22 | 23 | 23 |
| 240 | 4 | 15 | 17 | 18 | 19 | 20 | 21 | 21 | 22 | 22 |
| 360 | 6 | 14 | 15 | 16 | 17 | 19 | 19 | 20 | 20 | 21 |
| 540 | 9 | 12 | 14 | 15 | 16 | 17 | 18 | 19 | 19 | 20 |
| 720 | 12 | 12 | 14 | 14 | 15 | 16 | 17 | 18 | 18 | 19 |
| 1080 | 18 | 11 | 13 | 13 | 14 | 15 | 16 | 17 | 17 | 18 |
| 1440 | 24 | 11 | 12 | 13 | 14 | 15 | 15 | 16 | 16 | 17 |
| 2880 | 48 | 10 | 11 | 12 | 12 | 13 | 14 | 14 | 15 | 15 |
| 4320 | 72 | 10 | 11 | 11 | 12 | 13 | 13 | 14 | 14 | 14 |
| 5760 | 96 | 11 | 11 | 11 | 12 | 12 | 13 | 13 | 14 | 14 |
| 7200 | 120 | 11 | 11 | 12 | 12 | 12 | 13 | 13 | 13 | 14 |
| 8640 | 144 | 12 | 12 | 12 | 12 | 12 | 13 | 13 | 13 | 14 |
| 10080 | 168 | 12 | 12 | 12 | 12 | 12 | 13 | 13 | 13 | 13 |

Parameter für abweichende T und D

Lokationsparameter ξ (Xi)

15,28171172

Skalenparameter α (Alpha)

4,73811352

Formparameter κ (Kappa)

-0,1

1. Koutsoyiannis-Parameter θ (Theta)

0,02521736

2. Koutsoyiannis-Parameter η (Eta)

0,75490215

Parameter für dauerstufenübergreifende Extremwertschätzung nach KOUTSOYIANNIS et al. 1998.

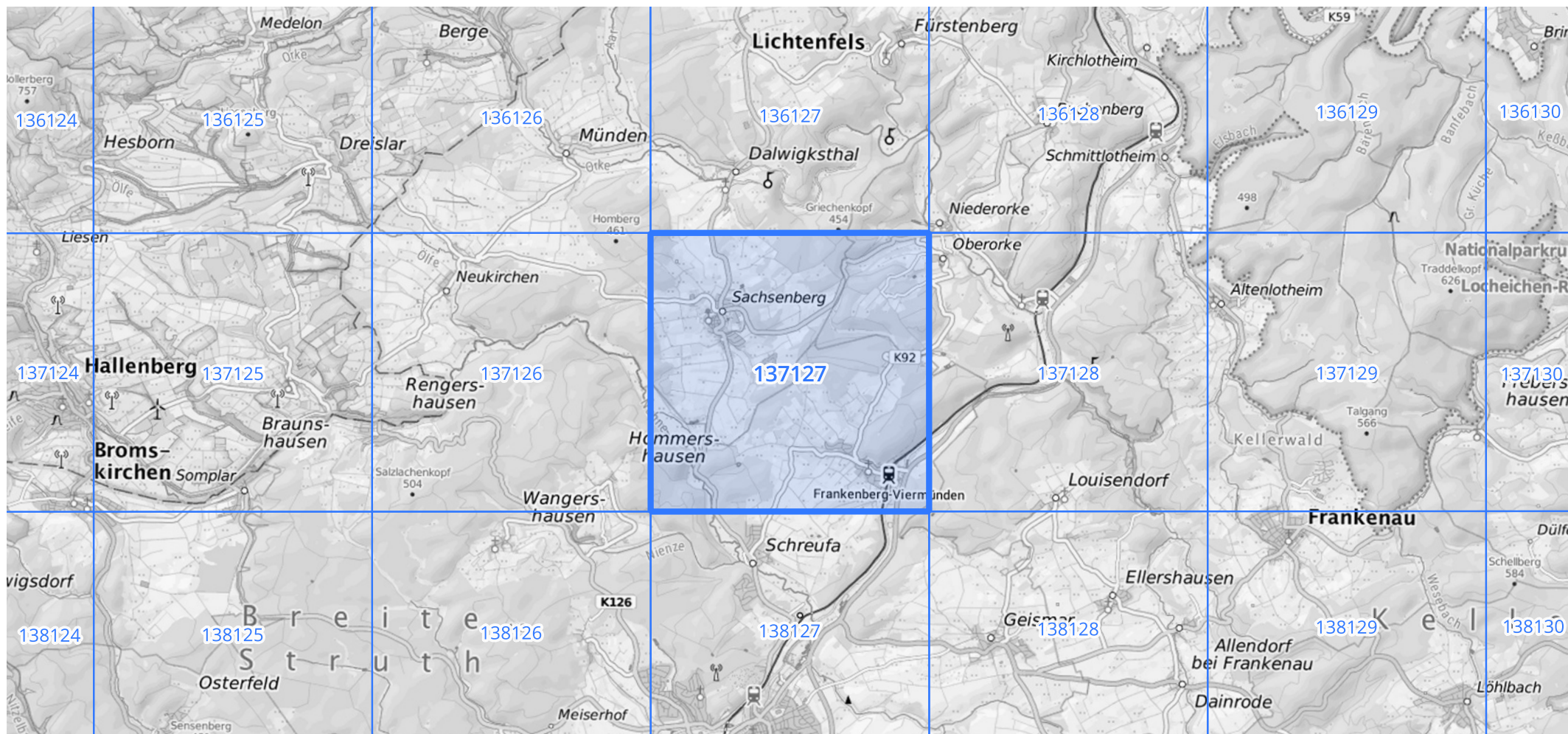
Siehe auch Anwendungshilfe zu KOSTRA-DWD-2020 des Deutschen Wetterdienstes.

Starkniederschlagshöhen und -spenden gemäß KOSTRA-DWD-2020

Rasterfeld 137127

(Zeile 137, Spalte 127)

Übersichtskarte des Rasterfeldes 137127, M 1 : 100 000



Quelle Rasterdaten: KOSTRA-DWD-2020 des Deutschen Wetterdienstes, Stand 12/2022.

Seite 3 von 3

Kartendarstellung: © Bundesamt für Kartographie und Geodäsie (2023), Datenquellen: https://sgx.geodatenzentrum.de/web_public/gdz/datenquellen/Datenquellen_TopPlusOpen.html

Für die Richtigkeit und Aktualität der Angaben wird keine Gewähr übernommen. Erstellt 01/2023.